Boletim Técnico da Escola Politécnica da USP Departamento de Engenharia de Energia e Automação Elétricas

ISSN 1413-2214 BT/PEA/0404

Proposta de Novas Topologias de Conversores "C-DUMP" para o Acionamento de Motores e Geradores de Relutância Chaveados

Wanderlei Marinho da Silva Clovis Goldemberg

São Paulo - 2004

1440205

O presente trabalho é um resumo da tese de doutorado apresentada por Wanderlei Marinho da Silva, sob orientação do Prof. Dr. Clovis Goldemberg: "Proposta de Novas Topologias de Conversores "C-DUMP" para o Acionamento de Motores e Geradores de Relutância Chaveados", defendida em 15/03/2004, na EPUSP.

A íntegra da tese encontra-se à disposição com o autor e na biblioteca de Engenharia de Eletricidade da Escola Politécnica da USP.

FICHA CATALOGRÁFICA

Silva, Wanderlei Marinho da

Proposta de novas topologias de conversores "C-DUMP" para o acionamento de motores e geradores de relutância chaveados / Wanderlei Marinho da Silva Clovis Goldemberg -- São Paulo : EPUSP, 2004.

13 p. – (Boletim Técnico da Escola Politécnica da USP. Departamento de Engenharia de Energia e Automação Elétricas ; BT/PEA/0403)

Conversores elétricos 2. Motores elétricos (Simulação computacional)
 Eletrônica de potências 4. MATLAB I. Goldemberg, Clovis II. Universidade de São Paulo. Escola Politécnica. Departamento de Engenharia de Energia e Automação Elétricas III. Título IV. Série ISSN 1413-2214

621.313

621.317

005

PROPOPOSTA DE NOVAS TOPOLOGIAS DE CONVERSORES "C-DUMP" PARA O ACIONAMENTO DE MOTORES E GERADORES DE RELUTÂNCIA CHAVEADOS

Wanderlei Marinho da Silva

Universidade Cruzeiro do Sul - UNICSUL.

Av. Dr. Ussiel Cirilo, 225, São Paulo, SP, Brasil 08060-070.

Tel. 011-6137-5700. E-mail: wmarinho@usp.br
Instituto de Pesquisas Energéticas e Nucleares - IPEN-CNEN-SP

Centro Tecnológico da Marinha em São Paulo - CTM-SP

Instituto Mauá de Tecnologia - IMT

Clovis Goldemberg

Escola Politécnica da Universidade de São Paulo - EPUSP,

Av. Prof. Luciano Gualberto, 3158, São Paulo, SP, Brasil, 05508-900.

Tel. 011-3091-5222. E-mail:clovis@pea.usp.br

Resumo

Este artigo apresenta duas novas topologias de conversores aplicados ao acionamento de motores de relutância chaveados. A topologia "2+1 C-Dump com perna de equalização", apresentado préviamente, é revisto. Resultados de simulação e registros experimentais para esta topologia são comparados. Esta topologia é extendida em duas novas variantes:

- "Full-bridge C-Dump com perna de equalização
- "Full-bridge C-Dump sem perna de equalização

Resultados de simulação para estas novas topologias são apresentadas.

Introdução

A motivação central para este trabalho foi o desenvolvimento de um sistema de tração elétrica de baixo custo para uma cadeira de rodas utilizando motores de relutância chaveados - MRCs. Neste tipo de acionamento são necessários dois motores controlados de forma independente. Os estudos preliminares mostravam uma série de possibilidades para o conversor eletrônico de potência que é o tema central deste trabalho.

O conversor "C-Dump" convencional utilizado para o acionamento de MRCs, foi abordado primariamente em 1985 [1] e sua topologia é apresentada na Fig. 1.

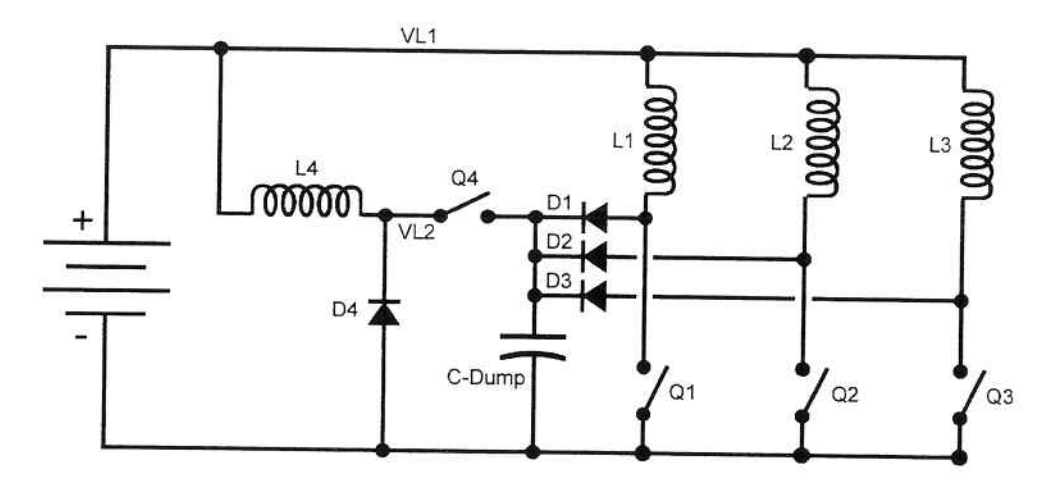


Fig. 1 Conversor "C-Dump" ([1] BASS et al., 1985).

Outros desenvolvimentos foram realizados de forma a eliminar o indutor do chopper [2] e incrementar a eficiência do conversor [3].

Uma das topologias originais apresentadas neste trabalho é o conversor "2+1 C-Dump com perna de equalização" (denominado, de forma abreviada., "2+1 C-Dump") apresentado na Fig. 2 [4] .

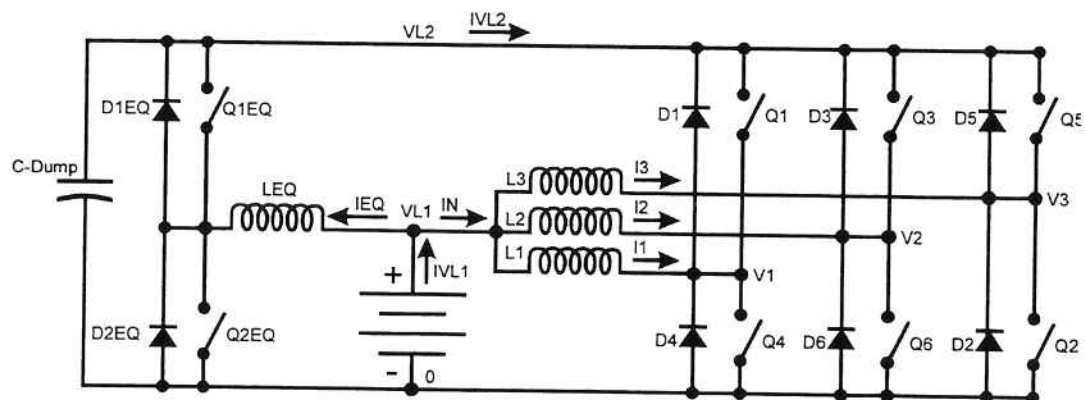


Fig. 2 Topologia "Full bridge C-Dump" proposta, incluindo a perna de equalizaçãoNesta figura estão indicadas as convenções e símbolos para as diversas correntes e tensões..

O nome "2+1" tem origem no fato que as correntes nas fases L2 e L3 são positivas (de acordo com o conversor C-Dump convencional) e a corrente na fase L1, flui em direção oposta. Este fato, não afeta a geração de conjugado uma vez que a

máquina é baseada no princípio da relutância.

A análise do conversor "2+1 C-Dump" é realizada dividindo o circuito da Fig. 2 em dois sub-circuitos. A Fig. 3 apresenta a perna de equalização, formada por um conversor Buck-Boost, responsável por manter a tensão VL2 constante no nível VL2=2xVL1. A Fig. 4 apresenta o conversor "2+1" que atualmente aciona a máquina de relutância chaveada.

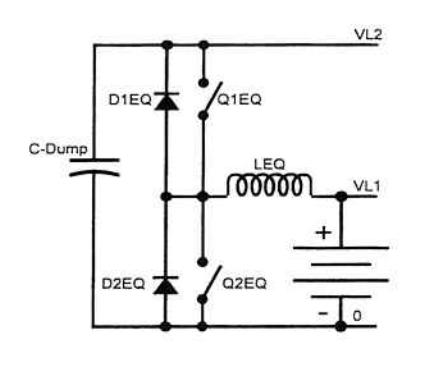


Fig. 3 Sub-circuito #2 utilizado para analizar a topologia "2+1 C-Dump"

Fig. 4 Sub-circuito #1 utilizado para analisar a topologia "2+1 C-Dump" proposta.

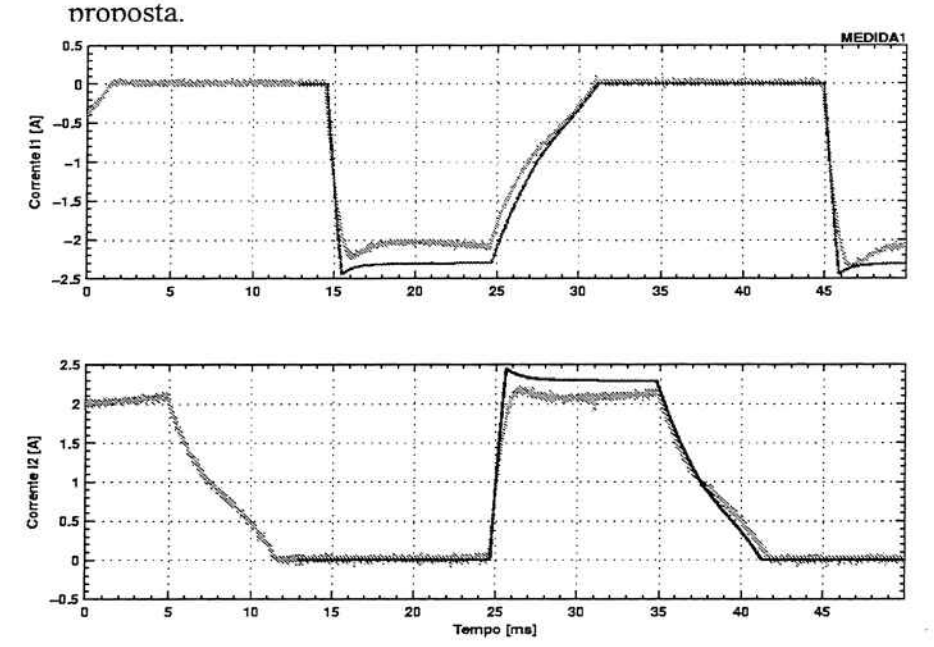


Fig. 5 Correntes I1 e I2 do MRC (simulação e registro experimental). Velocidade = 493.5 [rpm] / θ_{ON} = -80.5° / θ_{OFF} = -10.5°.

Este trabalho apresenta alguns resultados experimentais e resultados de simulação do conversor "2+1 C-Dump". O trabalho completo de Tese apresentado em [5], descreve e simula todas as topologias apresentadas neste artigo [7] [8]. A Fig. 5 apresenta o comportamento das correntes nos enrolamentos L1 e L2 para uma condição de ângulo "normal" e a máquina de relutância operando como motor. As convenções adotadas seguem a Fig. 2 e nota-se que a corrente I1 é negativa. Em negrito estão representados os resultados de simulação e em cinza os resultados experimentais.

Um resultado de simulação é apresentado na Fig. 6.

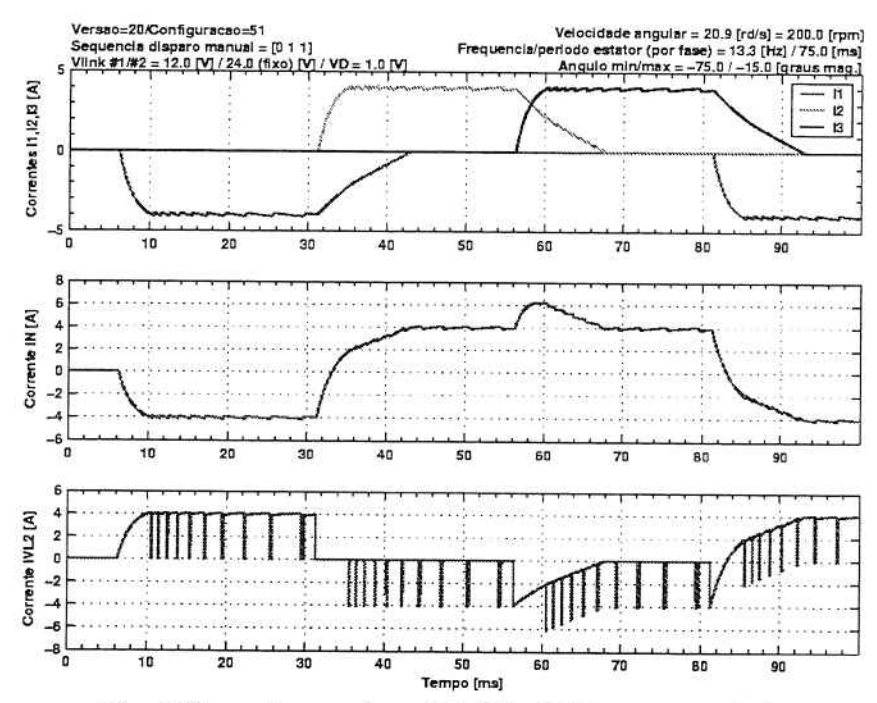


Fig. 6 Correntes nas fases L1, L2 e L3 (parte superior).

Corrente IN da fonte VL1 (parte central).

Corrente IVL2 da fonte VL2 (parte inferior).

A operação como gerador é conseguida alterando-se os ângulos $\theta_{ON}, \theta_{OFF}$. A Fig. 7 apresenta as formas de onda de corrente e tensão no enrolamento L1 para a máquina de relutância operando como gerador.

A principal vantagem da configuração 2+1 C-Dump quando comparado com a topologia C-Dump convencional está no fato que a energia proveniente da desmagnetização das fases L2 e L3 são utilizadas diretamente pela fase L1 e não necessita ser suprida pela perna de equalização.

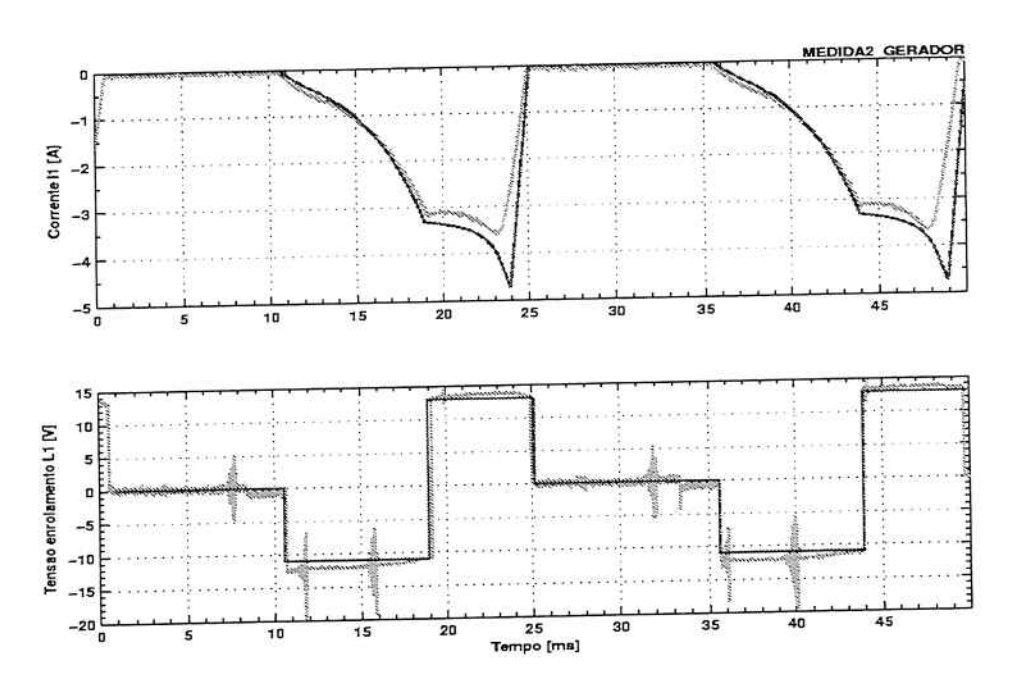


Fig. 7 Corrente e tensão na fase 1, com a máquina de relutância operando como gerador (simulação e registro experimental). Velocidade = 600 [rpm] / θ_{ON} = -21° / θ_{OFF} = +39°.

A primeira topologia original [5] apresentada na Fig. 8 é a "Full-bridge C-Dump com perna de equalização".

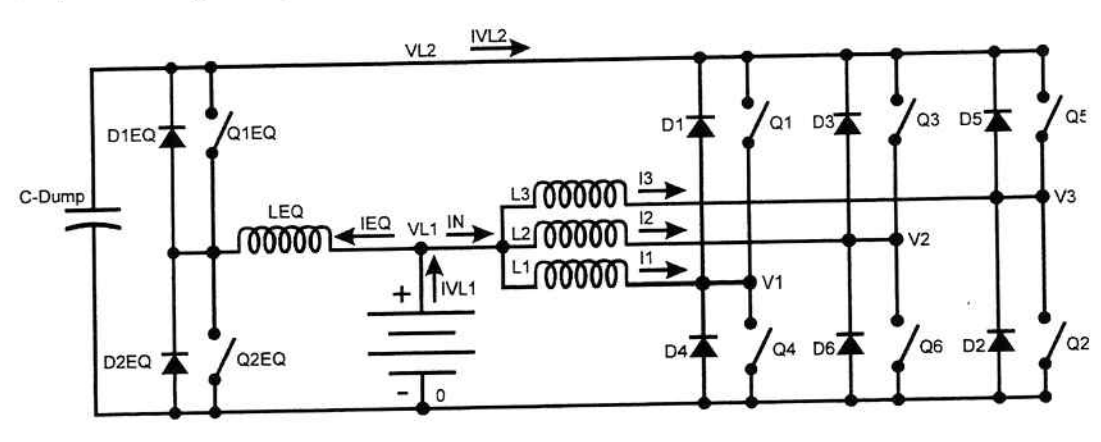


Fig.8 Topologia "Full bridge C-Dump" proposta, incluindo a perna de equalização.

Nesta figura estão indicadas as convenções e símbolos

para as diversas correntes e tensões.

O conversor do lado direito da Fig. 8 utiliza uma ponte completa (Full-bridge). Embora a quantidade de transistores e diodos tenha aumentado em relação a Fig. 1,

deve-se considerar que a ponte completa é um componente padrão, produzido em grande quantidade a baixo custo. Este argumento foi utilizado em [6] mas, naquele caso o motor não possui conexões padrões e é necessário acrescentar diodos extra conectados no interior da máquina. Na Fig. 8 a máquina de relutância possui uma conexão estrela padrão.

O conversor "2+1" apresentado na Fig. 2 pode ser entendido como um caso particular do conversor "Full-bridge" apresentado na Fig. 8. Com utilização do conversor "Full-bridge", o controle pode impor correntes positivas e negativas em cada fase. Esta escolha é realizada no início da condução da fase e está diretamente relacionada com o gerenciamento da energia do capacitor C-Dump (tensão). O melhor aproveitamento desta energia armazenada é é realizado quando ela é empregada na alimentação da fase consecutiva do motor, sem utilizar a perna de equalização.

Sob circunstâncias especiais, com controle apropriado, a perna de equalização pode ser completamente eliminada. A topologia resultante é apresentada na Fig. 9 e é denominada conversor "Full-bridge C-Dump sem perna de equalização" ou simplesmente conversor "Full-bridge C-Dump".

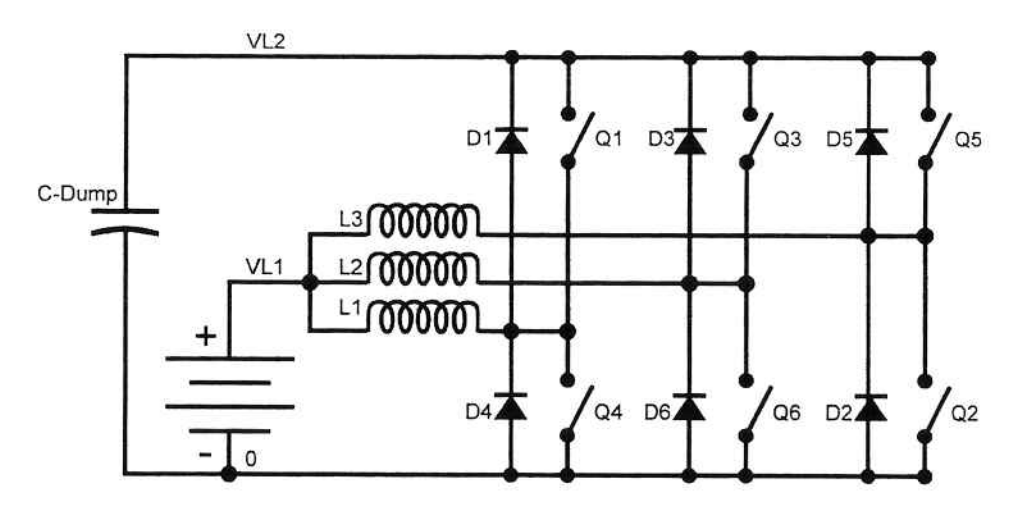


Fig. 9 Topologia "Full bridge C-Dump" sem perna de equalização.

A topologia "Full bridge C-Dump" também pode ser analisada através de dois sub-circuitos.

O sub-circuito #2 que se refere à "perna de equalização" é idêntico (do ponto de

vista topológico) ao apresentado na Fig. 3. As eventuais alterações serão relacionados ao dimensionamento dos componentes desta "perna de equalização" e derivam da estratégia utilizada para o comando dos transistores do "Full bridge".

O sub-circuito #1 que se refere ao "Full bridge C-Dump" é apresentado na Fig. 10.

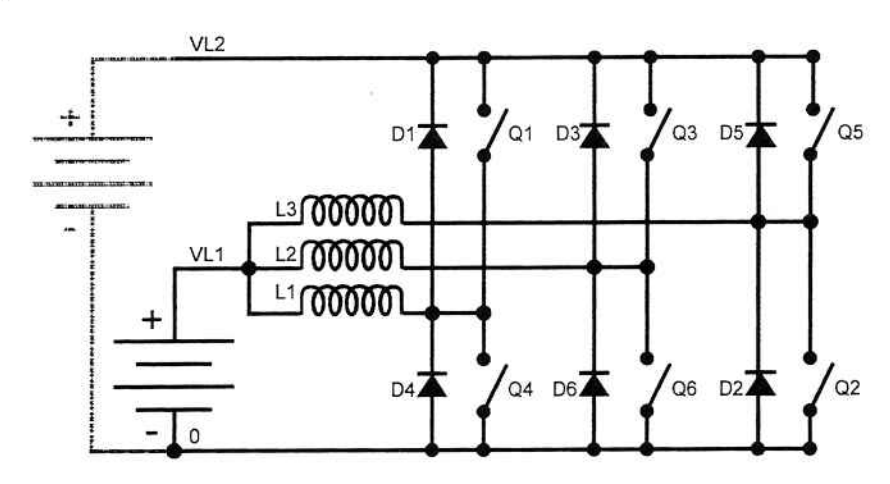
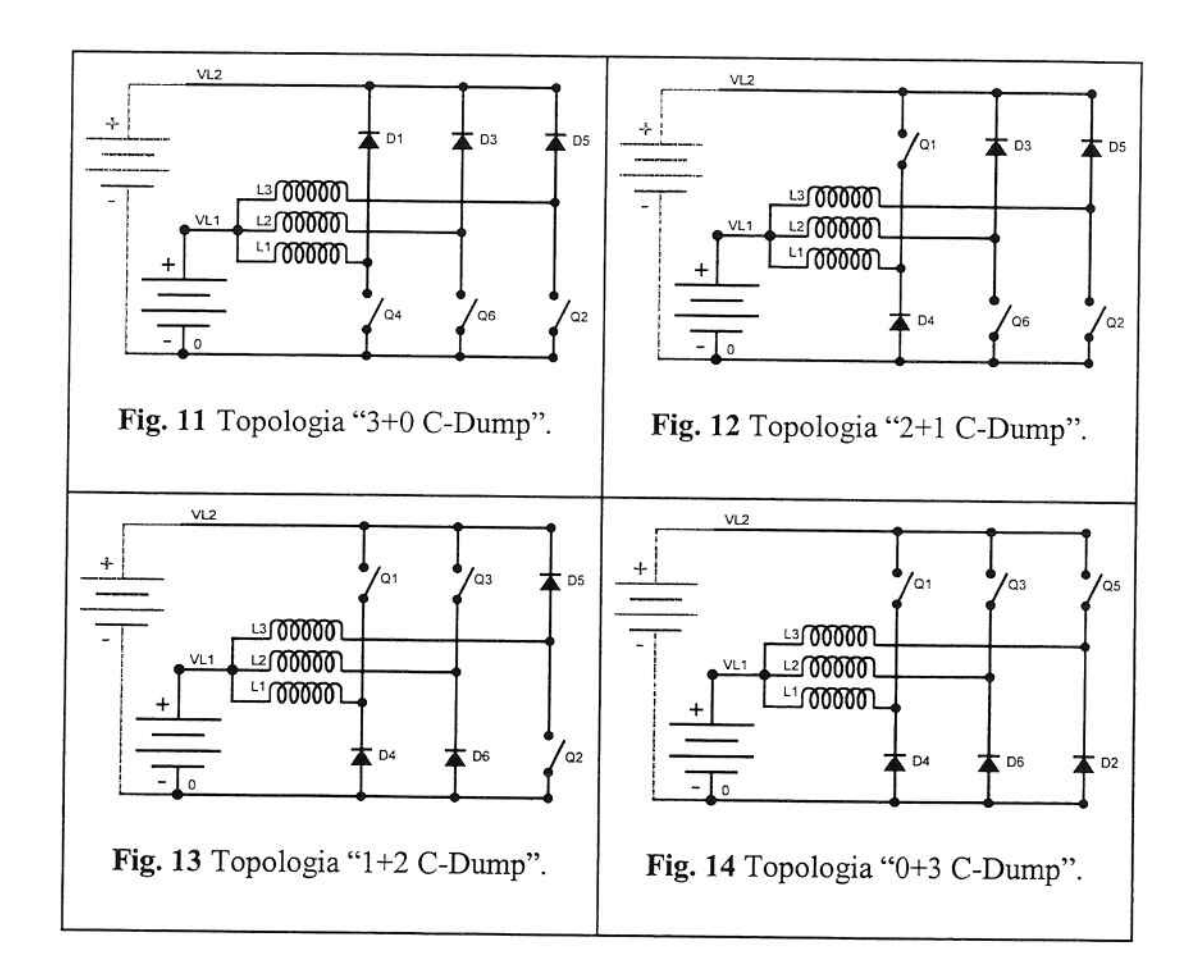


Fig 10 Sub-circuito #1 utilizado para analisar a topologia "Full bridge C-Dump" proposta.

O sub-circuito #1 apresentado na Fig. 10 pode ser decomposto em 8 configurações que podem ser ativadas pelo circuito de controle. Estas configurações estão relacionadas com o estado ON/OFF dos transistores Q1 ... Q6. Pode-se considerar as seguintes configurações derivadas da Fig. 10:

- "3+0 C-Dump" com perna de equalização (o "C-Dump" tradicional) (Fig. 11 onde os 3 transistores dos ramos inferiores forçam a passagem de corrente na fase no sentido positivo);
- "2+1 C-Dump" com perna de equalização (Fig. 12 onde existem 2 transistores
 que forçam a passagem de corrente no sentido positivo, enquanto o terceiro força
 a passagem de corrente na fase no sentido negativo);
- "1+2 C-Dump" com perna de equalização (Fig. 13 onde existe 1 transistor que força a passagem de corrente no sentido positivo, enquanto os 2 transistores restantes forçam a passagem de corrente na fase no sentido negativo);

• "0+3 C-Dump" com perna de equalização (Fig. 14 onde os 3 transistores dos ramos superiores forçam a passagem de corrente na fase no sentido negativo).



Quando se consideram as variações envolvendo as fases (por exemplo, trocandose as fases L1 e L2 na Fig. 12 que se referem à topologia "2+1 C-Dump") chega-se a um total de 8 combinações possíveis. Existe um aspecto específico de controle que deriva deste número de combinações e que pode ser apresentado a partir da pergunta: "Qual das 8 possibilidades deve ser escolhida?".

A melhor resposta é que a escolha deve ser feita dinamicamente. Ou seja, ao invés de se adotar uma única configuração (tal como foi feito no caso do "2+1 C-Dump") as várias configurações topológicas se revezam ao longo do tempo. A decisão deve ser tomada sempre no instante imediatamente anterior ao início da condução em uma dada fase.

A Fig. 15 apresenta o resultado de simulação do conversor "Full-bridge C-Dump sem perna de equalização". O controle "escolhe" diferentes polaridades para as correntes de fase do motor. De acordo com esta "escolha" o capacitor C-Dump irá carregar/descarregar ao longo do tempo, como pode ser verificado na parte superior da Fig. 15. Apesar desta tensão flutuar, as correntes nas fases são equilibradas devido ao controle de corrente por histerese.

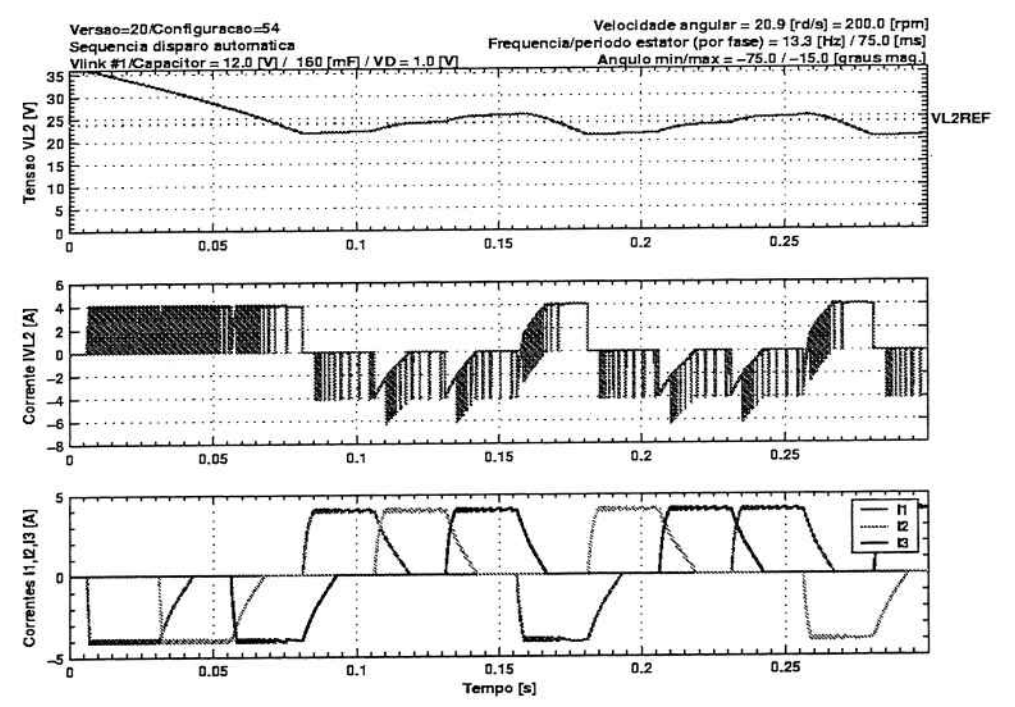


Fig.15 (Superior) Tensão VL2; (Central) Corrente IVL2; (Inferior) Correntes I1, I2 e I3. Corrente de referência = 4 [A] com VL2 inicial = 36 [V].

A análise comparativa do fluxo de potência nas topologia "3+0 C-Dump" (ver Fig. 11) e "2+1 C-Dump" (ambas com perna de equalização) permite algumas conclusões interessantes. A topologia "3+0 C-Dump" se assemelha à topologia proposta originalmente por [1], desde que se assuma um controle ideal da tensão do barramento VL2=2×VL1 (ver Fig. 1). As simulações referentes à topologia "3+0 C-Dump" estão apresentadas na Fig. 16 enquanto que as simulações da topologia "2+1 C-Dump" estão apresentadas na Fig. 17. As condições operacionais do MRC são **idênticas** nos dois casos

(excetuando-se a diferença de topologia do conversor). Os resultados relevantes são apresentados na forma de uma tabela onde são apresentadas as potências médias no barramento VL1, no barramento VL2 e a potência total. A potência total corresponde à soma das potências nos barramentos VL1 e VL2 e equivale à potência total absorvida pelo MRC.

	"3+0 C-Dump"	"2+1 C-Dump"
Potência no barramento VL1 [W]	32.7	10.9
Potência no barramento VL2 [W]	-14.2	7.5
Potência total [W]	18.4	18.4

A potência absorvida pelo MRC é idêntica nas duas topologias. Entretanto, existem diferenças significativas entre as potências fornecidas/absorvidas pelos barramentos VL1 e VL2. Na topologia "3+0 C-Dump" o barramento VL1 fornece uma potência aproximadamente 3 vezes maior do que a potência que seria fornecida utilizando-se a topologia "2+1 C-Dump". O barramento VL2 na topologia "3+0 C-Dump" deve absorver uma potência de 14.2 [W] enquanto que na topologia "2+1 C-Dump" este mesmo barramento fornece uma potência de apenas 7.5 [W]. Este resultado evidencia que a energia da desmagnetização (armazenada no capacitor C-Dump) na topologia "2+1 C-Dump" é usada diretamente nas fases do MRC, sem que haja a necessidade de descarregar este capacitor sobre a fonte de alimentação VL1.

A consequência desta análise comparativa é que o dimensionamento da perna de equalização (semicondutores e indutor LEQ - ver Fig. 3) é diferente nas duas topologias uma vez que a topologia "3+0 C-Dump" é mais solicitada.

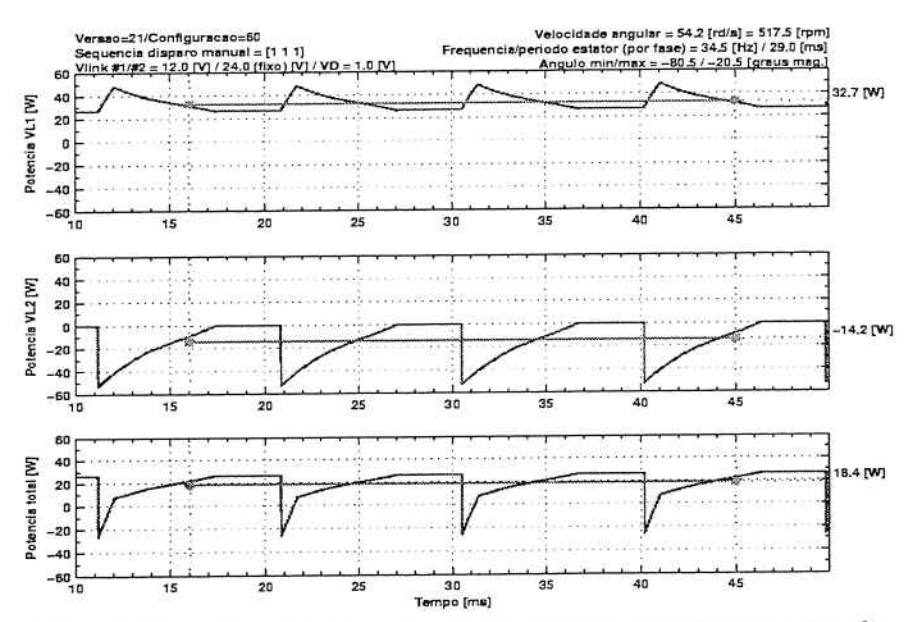


Fig. 16 Fluxo de potência na topologia "C-Dump 3+0 com perna de equalização". (Superior) Potência no barramento VL1; (Central) Potência no barramento VL2; (Inferior) Potência total (que corresponde à potência absorvida pelo MRC).

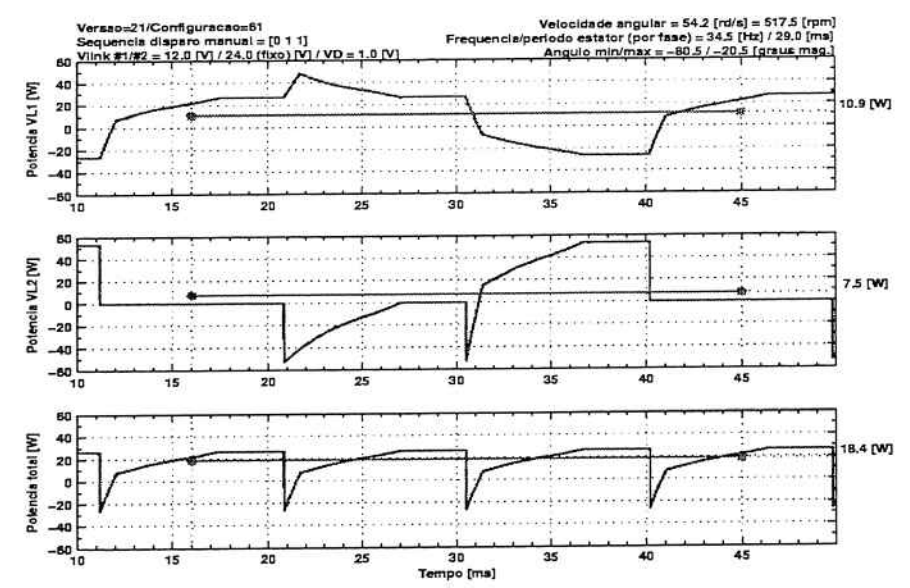


Fig. 17 Fluxo de potência na topologia "C-Dump 2+1 com perna de equalização" (Superior) Potência no barramento VL1; (Central) Potência no barramento VL2; (Inferior) Potência total (que corresponde à potência absorvida pelo MRC).

Conclusões

Este trabalho apresenta duas topologias inovadoras de conversores para MRC:

- conversor "2+1 C-Dump com perna de equalização";
- conversor "Full-bridge C-Dump com perna de equalização".

O conversor "2+1 C-Dump" preserva todas as características originais de um "C-Dump" convencional e as principais diferenças são:

- a necessidade de um transistor e um diodo adicionais, que completam a perna de equalização;
- a energia proveniente da desmagnetização de uma fase é utilizada diretamente na fase consecutiva. Isto permite, em princípio, reduzir o dimensionamento dos componentes da perna de equalização.

A principal linha de investigação aberta por este trabaho é o conversor "Full-bridge C-Dump sem perna de equalização". Algumas simulações preliminares desta topologia foram realizadas mas apenas uma montagem experimental abrangendo o controle será capaz de mostrar sua potencialidade.

Referências bibliográficas

- [1] BASS, J.T.; EHSANI, M.; MILLER, T.J.E.; STEIGERWALD, R.L. Development of a unipolar converter for variable reluctance motor drives. IEEE Industry Application Society Conference IAS 85, pp. 1062-1068, 1985.
- [2] HAVA, A.M.; BLASKO, V.; LIPO, T. A. A modified C-Dump converter for variable-reluctance machines. IEEE Transactions on Industry Applications, Vol. 28, No. 5, pp. 1017-1022, September/October 1992.
- [3] MIR, S.; HUSAIN, I.; ELBULUK, M.E. Energy-efficient C-dump converters for switched reluctance motors. IEEE Transactions on Power Electronics, Vol. 12, No. 5, pp. 912-921, September, 1997.

- [4] SILVA, W.M.; PAULA, P.P.; GOLDEMBERG, C.; TERSARIOLI, V.; Souza, D.R.; BOSSCHE, A.V.D., Analysis of low cost switched reluctance motor drives topologies: 2+1 C-dump and the 2+1 with double supply. 10th European Conference on Power Electronics and Applications, EPE2003, Toulouse, França, 2003.
- [5] SILVA, W.M.; Proposta de novas topologias de conversores "C-Dump" para o acionamento de motores e geradores de relutância chaveados. Tese de Doutorado. Escola Politécnica da Universidade de São Paulo EPUSP Universidade de São Paulo, 2004.
- [6] CLOTHIER, A.C.; MECROW, B.C. The use of three phase bridge inverters with switched reluctance drives. EMD97 Conference Proceedings, pp.351-355, 1997.
- [7] KRISHNAN, R. Switched reluctance motor drives, modeling, simulation, analysis, design and applications. CRC Press, 2001.
- [8] MATLAB-Versão 6.5; The Mathworks Inc., 2002.



BOLETINS TÉCNICOS - TEXTOS PUBLICADOS

- BT/PEA/9301 Alguns Aspectos do Problema de Planejamento de Sistemas de Transmissão sob Incertezas CARLOS MARCIO VIEIRA TAHAN, ERNESTO JOÃO ROBBA
- BT/PEA/9302 Vibrações em Motores Elétricos Provocadas por Forças Magnéticas ORLANDO SILVIO LOBOSCO , HENRIQUE PRADO ALVAREZ
- BT/PEA/9303 Corrente Contínua em Alta Tensão: Aplicação de Equipamentos Elétricos e Modelos para Análises de Confiabilidade LINEU BELICO DOS REIS
- BT/PEA/9504 Automação e Informatização Aplicadas a Controle e Supervisão de Processos de Pesagem EVALDO ARAGÃO FARQUI, EDUÁRDO MÁRIO DIAS
- BT/PEA/9505 Modernização e Reabilitação de Usinas Hidrelétricas DJALMA CASELATO, ADERBAL DE ARRUDA PENTEADO JR.
- BT/PEA/9506 Estudo do Campo Elétrico Provocado por Linhas de Transmissão em Corrente Alternada CELSO PEREIRA BRAZ, JOSÉ ANTONIO JARDINI
- BT/PEA/9507 Aspectos Sobre Processos Automatizados de Pesagem Rodoferroviária: Uma Proposta de Modernização de Postos em Operação SERGIO LUIZ PEREIRA, CICERO COUTO DE MORAES
- BT/PEA/9508 Usinas Hidrelétricas em Rotação Ajustável: Novas Premissas para o Planejamento Energético MARCO ANTONIO SAIDEL, LINEU BÉLICO DOS REIS
- BT/PEA/9509 Desenvolvimento de um Sistema de Automação de Subestações pela integração de Módulos de Software e Hardware Existentes no Mercado Brasileiro L. C. MAGRINI, J. A. JARDINI, S. COPELIOVITCH, N. KABA FILHO
- BT/PEA/9510 Proposta de um Modelo para Estudos de Aplicação de Compensadores Estáticos em Sistemas de Potência JOSÉ TOSHIYUKI HONDA, LUIS CERA ZANETTA JÚNIOR
- BT/PEA/9511 Metodologia e Testes para Redução das Distâncias Elétricas entre Fases de Barramentos de Subestações de 138kV Abrigadas, ANDRÉ NUNES SOUZA, ORLANDO SILVIO LOBOSCO
- BT/PEA/9512 Avaliação da Severidade da Poluição para o Dimensionamento da Isolação das Redes Elétricas ARNALDO G. KANASHIRO, GERALDO F. BURANI
- BT/PEA/9513 Processos Auto-Adaptativos para Cálculo de Campos Eletromagnéticos pelo Método dos Elementos Finitos LUIZ LEBENSZTAJN, JOSÉ ROBERTO CARDOSO
- BT/PEA/9514 Investigação Experimental sobre os Arcos Sustentados em Sistemas Elétricos de Baixa Tensão FRANCISCO H. KAMEYAMA, GERALDO F. BURANI
- BT/PEA/9515 Fast Voltage Compensation: A Mean to Improve the Quality of Energy Supply H. ARANGO, JOSÉ ANTONIO
- BT/PEA/9516 Modelo Avançado para Planejamento de Sistemas Energéticos Integrados Usando Recursos Renováveis LUIZ ANTONIO ROSSI, LINEU BELICO DOS REIS
- BT/PEA/9601 Metodologias para Planejamento de Sistemas de Distribuição: Estado-da-Arte e Aplicações PAULO ROBERTO NJAIM, CARLOS MARCIO VIEIRA TAHAN
- BT/PEA/9602 Integração de Relés Digitais em Sistemas de Automação de Subestação JERÔNIMO CAMILO SOARES JR., JOSÉ A. JARDINI, LUIZ C. MAGRINI
- BT/PEA/9603 Paradigma de Planejamento sob Incertezas Aplicação ao Planejamento dos Sistemas de Distribuição de Energia Elétrica - ALBERTO BIANCHI JUNIOR, LINEU BELICO DOS REIS
- BT/PEA/9604 Um Sistema de Controle de Velocidade para Motor de Indução Trifásico CELSO KAZUMI NAKAHARADA, ADERBAL DE ARRUDA PENTEADO JR.
- BT/PEA/9605 Controle Vetorial de Motores de Indução, Independente das Alterações de Parâmetros da Máquina NERY DE OLIVEIRA JÚNIOR, WALDIR PÓ
- BT/PEA/9606 Compactação de Subestações de 145 kV Através da Redução das Distâncias entre Fases GERVASIO LUIZ DE CASTRO NETO, ORLANDO SILVIO LOBOSCO
- BT/PEA/9607 Curvas de Carga de Consumidores Industriais Agregação com Outras Cargas RONALDO PEDRO CASOLARI, JOSÉ ANTONIO JARDINI
- BT/PEA/9608 Utilização de Curvas de Carga de Consumidores Residenciais Medidas para Determinação de Diversidade de Carga, e Carregamento de Transformadores de Distribuição EDUARDO LUIZ FERRARI, JOSÉ ANTONIO
- BT/PEA/9609 Comportamento Elétrico de Cabos Cobertos e Pré-Reunidos pelo Método dos Elementos Finitos JOÃO JOSÉ DOS SANTOS OLIVEIRA, JOSÉ ROBERTO CARDOSO
- BT/PEA/9701 Repotenciação de Hidrogeradores: Uma Proposta de Metodologia de Análise e Implantação FÁBIO SALOMÃO FERNANDES SÁ, ADERBAL DE ARRUDA PENTEADO JR.

- BT/PEA/9702 Desenvolvimento de um Sistema de Automação para um Sistema de Automação para um Centro de Operação da Distribuição PAULO SÉRGIO MIGUEL SURUR, JOSÉ ANTONIO JARDINI
- BT/PEA/9703 Planejamento da Expansão do Sistema de Distribuição Utilizando Programação Matemática Probabilistica MARIÂNGELA DE CARVALHO BOVOLATO, NELSON KAGAN
- BT/PEA/9704 Técnicas de Inteligência Artificial Aplicadas ao Problema de Planejamento da Expansão do Sistema de Distribuição de Energia Elétrica SALETE MARIA FRÓES, NELSON KAGAN
- BT/PEA/9705 Aproveitamento Funcional de Sistemas de Controle e Proteção Digitais em Subestações de Distribuição JOSÉ LUIZ PEREIRA BRITTES, JOSÉ ANTONIO JARDINI
- BT/PEA/9706 Avaliação de Algoritimo para Proteção Diferencial de Transformadores LUÍS SÉRGIO PIOVESAN, EDUARDO CÉSAR SENGER
- BT/PEA/9707 Sistema de Proteção para Faltas de Alta Impedância CAIUS VINICIUS SAMPAIO MALAGODI, EDUARDO CÉSAR SENGER
- BT/PEA/9708 Um Ambiente para Planejamento da Operação de Sistemas de Distribuição de Energia Elétrica KLEBER HASHIMOTO, NELSON KAGAN
- BT/PEA/9709 Análise do Custo Beneficio da Instalação de Equipamentos de Proteção em Redes Aéreas de Distribuição ANTONIO CLAUDINEI SIMÕES, JOSÉ ANTONIO JARDINI
- BT/PEA/9710 Planejamento Integrado de Recursos Energéticos PIR para o Setor Elétrico MIGUEL EDGAR MORALES UDAETA, LINEU BELICO DOS REIS
- BT/PEA/9711 Análise de Defeitos no Motor de Indução Trifásico para Predição de Falhas Incipientes JOSÉ ANTONIO URCIA MISARI, CÍCERO COUTO DE MORAES
- BT/PEA/9712 Gerenciamento de Transformadores de Distribuição com Análise na Perda de Vida CARLOS MÁRCIO VIEIRA TAHAN, VLADIMIR DUARTE BELCHIOR
- BT/PEA/9713 Uma Nova Metodologia para a Avaliação de Sistemas de Aterramento Metro-Ferroviários JOSÉ AUGUSTO PEREIRA DA SILVA, JOSÉ ROBERTO CARDOSO
- BT/PEA/9714 Um Exemplo de Decomposição de Fluxos em Transformadores NICOLAU IVANOV, LUIZ CERA ZANETTA JR.
- BT/PEA/9715 Custos de Transporte de Energia Elétrica Análise de Metodologias DÁRIO TAKAHATA, CARLOS MÁRCIO VIEIRA TAHAN
- BT/PEA/9716 Bancada de Ensaios para a Avaliar o Comportamento de Acionamentos Controlados por Inversores PWM JOSÉ ANTONIO CORTEZ, ADERBAL DE ARRUDA PENTEADO JR.
- BT/PEA/9717 Integração de Técnicas de Diagnóstico de Falhas em Motores de Indução Trifásicos ao Sistema de Gerenciamento da Manutenção Industrial - JOSÉ A. URCIA MISARI, CICERO COUTO DE MORAES
- BT/PEA/9801 Análise de Confiabilidade para Gerenciamento Operacional de Sistemas Automatizados de Pesagem Rodo-Ferroviária - RUBENS LOPES ROLIM, CÍCERO COUTO DE MORAES
- BT/PEA/9802 Projeto de um Ondulador Híbrido e Estudo de Onduladores Derivados de Solenóide, para Utilização em Laser a Elétrons Livres FRANCISCO SIRCILLI NETO
- BT/PEA/9803 Configuração de Redes de Distribuição de Energia Elétrica com Múltiplos Objetivos e Incertezas através de Procedimentos Heurísticos CARLOS C. BARIONI DE OLIVEIRA, NELSON KAGAN
- BT/PEA/9804 Conceituação e Aplicação de Metodologia de Gerenciamento pelo Lado da Demanda em uma Empresa Distribuidora de Energia Elétrica FERNANDO MONTEIRO DE FIGUEIREDO, JOSÉ ANTÔNIO JARDINI
- BT/PEA/9805 Acoplamento Circuito Elétrico Método dos Elementos Finitos em Regime Transitório Utilizando a Metodología de Dommel NANCY MIEKO ABE, JOSÉ ROBERTO CARDOSO
- BT/PEA/9806 Modelo de Arco Elétrico Aplicado ao Estudo da Interrupção da Corrente em Disjuntores de Média Tensão LUCILIUS CARLOS PINTO, LUIZ CERA ZANETTA JR.
- BT/PEA/9807 Proteção para Falta de Alta Impedância Utilizando o Sistema de Rádio Troncalizado MARCO ANTONIO BRITO, EDUARDO CESAR SENGER
- BT/PEA/9808 Contribuição ao Estudo e Projeto dos Motores Síncronos de Relutância IVAN EDUARDO CHABU, JOSÉ ROBERTO CARDOSO
- BT/PEA/9809 Cabos Cobertos: Metodologia para a Determinação da Espessura da Cobertura ANTONIO PAULO DA CUNHA, JOSÉ ANTÔNIO JARDINI
- BT/PEA/9810 Eletrificação Rural Avaliações em São Paulo MARCELO APARECIDO PELEGRINI, FERNANDO SELLES RIBEIRO
- BT/PEA/9811 Política de Eletrificação Rural em São Paulo LUIZ HENRIQUE ALVES PAZZINI, FERNANDO SELLES RIBEIRO
- BT/PEA/9812 Uso Racional e Eficiente de Energia Elétrica: Metodologia para a Determinação dos Potenciais de Conservação dos Usos Finais em Instalações de Ensino e Similares ANDRÉ LUIZ MONTEIRO ALVAREZ, MARCO ANTONIO SAIDEL
- BT/PEA/9813 Diretrizes para a Regulação da Distribuição de Energia Elétrica JAMES S. S. CORREIA, LINEU BELLICO DOS REIS

- BT/PEA/9814 Distribuição da Tensão de Impulso em Enrolamentos de Transformadores de Distribuição PEDRO LUÍS SANTUCCI DE MENDONÇA, AUGUSTO FERREIRA BRANDÃO JÚNIOR
- BT/PEA/9815 Estudo Comparativo entre os Diversos Métodos de Determinação do Rendimento de Motores de Indução FRANCISCO ANTONIO MARINO SALOTTI, ORLANDO SILVIO LOBOSCO
- BT/PEA/9816 A Nodal Analysis Approach Applied to Electric Circuits Coupling in Magnetodynamic 2D FEM MAURÍCIO CALDORA COSTA, JOSÉ ROBERTO CARDOSO
- BT/PEA/9817 Informatização e Automação dos Órgãos Gestores de Mão de Obra EDUARDO MARIO DIAS, CÍCERO COUTO DE MORAES
- BT/PEA/9818 Freqüência de Ocorrência de Sobretensões Originárias de Descargas Atmosféricas em Linhas de Distribuição NELSON MASSAKAZU MATSUO, LUIZ CERA ZANETA JR.
- BT/PEA/9819 Um Método de Imposição de Pólos no Estudo da Estabilidade de Redes Elétricas a Pequenas Perturbações PERCIVAL BUENO DE ARAUJO, LUIZ CERA ZANETTA JR.
- BT/PEA/9820 Inter-Relação do Planejamento Agregado de Investimentos com o Planejamento Localizado de Sistemas de Distribuição de Energia Elétrica JUCEMAR SALVADOR SIMÕES, NELSON KAGAN
- BT/PEA/9821 A Produção de Energia Através das Células de Combustível JOSÉ LUIZ PIMENTA PINHEIRO, LINUE BELICO DOS REIS
- BT/PEA/9822 Automação de Processos Revisão e Tendências SERGIO LUIZ PEREIRA
- BT/PEA/9823 Metodologia para Seleção e Gerenciamento de Transformadores e Distribuição, Aplicando Técnicas de Redes Neutrais Artificiais SE UN AHN, JOSÉ ANTONIO JARDINI
- BT/PEA/9901 Contribuição ao Modelamento e Simulação de Motores em Ímãs Permanentes e Comutação Eletrônica de Alta Rotação WANDERLEI MARINHO DA SILVA, CLOVIS GOLDEMBERG
- BT/PEA/9902 Estudos de Sistemas de Potência e Automação: Plantas Industriais de Grande Porte MAURÍCIO G. M. JARDINI, JOSÉ A. JARDINI
- BT/PEA/9903 Synchronous Machines Parameters Identification Using Load Reejection Test Data E. C. BORTONI, J. A. JARDINI
- BT/PEA/9904 Indentificação de Locais e Opções Tecnológicas para Implantação de Termoelétricas no Sistema Elétrico Brasileiro: Contribuição ao Estado da Arte e Aplicação ao Caso do Gás Natural ELIANA APARECIDA FARIA AMARAL FADIGAS, LINEU BELICO DOS REIS
- BT/PEA/9905 Sistema de Manutenção Preventiva de Subestações: Uma Abordagem Semântica para o Monitoramento Integrado ELIAS ROMA NETO, ADERBAL DE ARRUDA PENTEADO JR.
- BT/PEA/9906 Previsão das Perdas Magnéticas na Presença de Harmônicos MARCELO S. LANCAROTTE, ADERBAL DE ARRUDA PENTEADO JR.
- BT/PEA/9907 Comportamento do Aterramento de Sistemas e Equipamentos de Distribuição sob Impulso CLEVERSON LUIZ DA SILVA PINTO, ADERBAL DE ARRUDA PENTEADO JR.
- BT/PEA/9908 Modelo de Sistema de Supervisão e Controle Operacional de Terminais de Contêineres LEVI SALVI, EDUARDO MARIO DIAS
- BT/PEA/9909 Medição de Altas Correntes em Frequência Industrial: Instrumentação, Dispositivos de Medição e Calibrações HÉLIO EIJI SUETA, GERALDO FRANCISCO BURANI
- BT/PEA/9910 Conversores Auto-Comutados Aplicados em Derivações de Sistemas de Transmissão de Corrente Continua e Alta Tensão WILSON KOMATSU, WALTER KAISER
- BT/PEA/9911 Análise de Desempenho de Sistemas de Aterramento em Alta Frequência pelo Método dos Elementos Finitos ANGELO PASSARO, JOSÉ ROBERTO CARDOSO, VIVIANE CRISTINE SILVA
- BT/PEA/9912 Simulação de Motores "Shaded Pole": Uma Nova Abordagem Analítico-Numérica PASCHOAL SPINA NETO, SÍLVIO IKUO NABETA, JOSÉ ROBERTO CARDOSO
- BT/PEA/9913 Estimadores de Estado para Sistemas de Potência: Análise do Estado da Arte CLEBER ROBERTO GUIRELLI, JOSÉ ANTONIO JARDINI
- BT/PEA/9914 Análise sobre o Comportamento de Sistemas de Proteção Contra Descargas Atmosféricas Utilizando o Método dos Elementos Finitos SEBASTIÃO C. GUIMARÃES JR., LUCIANO MARTINS NETO, JOSÉ ROBERTO CARDOSO
- BT/PEA/9915 Automatização do Atendimento a Reclamações de Interrupção de Energia Elétrica H. K. Kiyohara, L. C. Magrini, E. P. PARENTE, JOSÉ ANTONIO JARDINI
- BT/PEA/9916 Controle Digital de Tensão e Reativos PAULA S. D. KAYANO, LUIZ CARLOS MAGRINI, LINEU BELICO DOS REIS, ANTONIO JOSÉ GOMES CARMO, ELIAS DE SOUZA NETO
- BT/PEA/9917 Localizadores Digitais de Faltas em Linhas de Transmissão CARLOS EDUARDO DE MORAIS PEREIRA, LUIZ CERA ZANETTA JR.
- BT/PEA/9918 Religamento Monopolar em Linhas de Transmissão Propostas de Uma Ferramenta para Investigações Paramétricas IVANIL POMPEU, LUIZ CERA ZANETTA JR.
- BT/PEA/9919 Viabilidade Técnica de Abertura Monopolar Permanente em Linhas de Transmissão Extra Alta Tensão FABIANA AP. DE TOLEDO SILVA, JOSÉ ANTONIO JARDINI

- BT/PEA/9920 Avaliação do U-Net em Custers com Rede My com Rede Myrinet PAULO A. GEROMEL, SERGIO T. KOFUJI
- BT/PEA/9921 SAG Sistema de Apoio Gerencial via Internet ADRIANO GALINDO LEAL, JOSÉ ANTONIO JARDINI
- BT/PEA/9922 Desequilibrio de Tensão em Redes Secundárias de Distribuição PAULO VINÍCIUS SANTOS VALOIS, CARLOS MÁRCIO VIEIRA TAHAN
- BT/PEA/9923 Sistema Não Lineares Controlados pela Lógica Difusa: Uma Aplicação em Acionamentos Constituídos por Motores Assíncronos WERNER W. PACHECO LUJAN, CÍCERO COUTO MORAES
- BT/PEA/9924 Arborescência em Cabos Elétricos de Média e Alta Tensão JOÃO JOSÉ ALVES DE PAULA, ADERBAL DE ARRUDA PENTEADO JÚNIOR
- BT/PEA/9925 Estudo para Otimização de Desempenho de Plantas Industriais Automatizadas ANTONIO ORLANDO UGULINO, SERGIO LUIZ PEREIRA
- BT/PEA/9926 Simulação e Análise de Desempenho de Processos Visando a Otimização de Sistemas Integrados de Produção CÍCERO COUTO DE MORAES, SERGIO LUIZ PEREIRA, JOSÉ ROBERTO R. DE GODOY
- BT/PEA/9927 Automação Moderna de Processos: Análise de Necessidade, Viabilidade e Tendências Tecnológicas SERGIO LUIZ PEREIRA
- BT/PEA/9928 Modelo de Compensação Série Controlada Aplicado ao Estudo do Amortecimento de Oscilações em Sistemas de Potência JOSÉ ROBERTO PASCON, LUIZ CERA ZANETTA JÚNIOR
- BT/PEA/9929 Cálculo de Trajetórias de Elétrons em Estruturas Magnéticas YASMARA CONCEIÇÃO DE POLLI, VIVIANE CRISTINE SILVA
- BT/PEA/0001 Monitoramento de Transformadores de Potência Direcionado à Manutenção com Base nas Condições SERGIO COSTA, AUGUSTO F. BRANDÃO JR.
- BT/PEA/0002 Redes Neurais Artificiais Aplicadas a Estudos de Subestações de Alta Tensão Abrigadas Frente a Ensaios de Impulsos Atmosféricos ANDRÉ NUNES DE SOUZA, FERNANDO SELLES RIBEIRO
- BT/PEA/0003 Relé Diferencial para Transformador de Potência Implementado com uma Rede MLP RICARDO CANELOI DOS SANTOS, EDUARDO CESAR SENGER
- BT/PEA/0004 Minimização de Resíduos Sólidos Urbanos e Conservação de Energia PAULO HÉLIO KANAYAMA, LINEU BELICO DOS REIS
- BT/PEA/0005 Modelamento de Conversores CC/CC por meio da Chave PWM LUIZ FERNANDO P. DE MELLO, WALTER KAISER
- BT/PEA/0006 Estudo de Surtos em Redes Secundárias de Distribuição Causados por Descargas Atmosféricas Diretas na Rede Primária WELSON BASSI, JORGE M. JANISZEWSKI
- BT/PEA/0007 Modelagem da Magnetohidrodinâmica em 3D pelo Método de Elementos Finitos SERGIO LUÍS LOPES VERARDI, JOSÉ ROBERTO CARDOSO
- BT/PEA/0008 Metodologia para Avaliação do Comportamento e Vida Útil de Motores Alimentados por Fontes Assimétricas de Tensão JOSÉ LUIZ ANTUNES DE ALMEIDA, EDUARDO MÁRIO DIAS
- BT/PEA/0009 Esquema de Aterramento Hibrido (EAH) FRANCISCO CARLOS PARQUET BIZZARRIA, ADERBAL DE ARRUDA PENTEADO JUNIOR
- BT/PEA/0010 Ferro-Ressnância em Redes Subterrâneas de Distribuição REGINA LÚCIA LAMY, CARLOS MÁRCIO VIEIRA TAHAN
- BT/PEA/0011 A Análise do Ciclo de Vida e os Custos Completos no Planejamento Enérgico CLÁUDIO ELIAS CARVALHO, LINEU BELICO DOS REIS
- BT/PEA/0012 A Agregação de Valor à Energia Elétrica através da Gestão Integrada de Recursos ANDRÉ LUIZ VEIGA GIMENES, LINEU BELICO DOS REIS
- BT/PEA/0013 Tochas a Plasma: Características Básicas para Projeto e Construção MIGUEL BUSSOLINI, ORLANDO SILVIO LOBOSCO
- BT/PEA/0014 Um Estudo de Correntes Induzidas em Meios Maciços Ferromagnéticos Aplicação no Projeto de Freios de Correntes Parasitas ALVARO BATISTA DIETRICH, IVAN EDUARDO CHABU
- BT/PEA/0015 Incorporação de Sistemas de Co-Geração aos Sistemas Elétricos de Potência: Um Roteiro para Avaliação de Viabilidade Técnico-Econômica LUÍZ DONIZETI CLEMENTINO, LINEU BELICO DOS REIS
- BT/PEA/0016 Metodologia para Análise da Posse de Equipamentos e Hábitos de Consumo de Energia Elétrica em Baixa Tensão ALEXANDRE ANGRISANO, RONALDO P. CASOLARI, JOSÉ ANTONIO JARDINI
- BT/PEA/0017 Análise de Índices de Qualidade no Planejamento Agregado de Investimentos em Ambiente de Incertezas CARLOS ALEXANDRE DE SOUSA PENIN, NELSON KAGAN
- BT/PEA/0018 Controle de Descarregadores de Navios Utilizando Lógica Fuzzy ANTONIO DAGOBERTO DO AMARAL JÚNIOR, LUIZ CERA ZANETTA JÚNIOR
- BT/PEA/0019 The Energy Absorption Capacity of Metal Oxide Surge Arresters An Approach for Switching Surges MANUEL LUÍS BARREIRA MARTINEZ, LUIZ CERA ZANETTA JÚNIOR

- BT/PEA/0020 Utilização Racional de Energia Elétrica em Instalações Elétricas Comerciais Empregando Sistemas de Automação JOEL ROCHA PINTO, AUGUSTO FERREIRA BRANDÃO JÚNIOR
- BT/PEA/0021 Sistema Automatizado para Aquisição de Dados de Consumo de Energia Elétrica, Água e Gás JOSÉ WALTER PARQUET BIZARRIA, JÓSÉ ANTONIO JARDINI
- BT/PEA/0022 Estudo de Ignitores de Pulsos Superpostos para Lâmpadas de Vapor de Sódio de Alta Pressão ALEXANDER FERNÁNDEZ CORREA, WALTER KAISER
- BT/PEA/0023 Desenvolvimento de Medidor Eletrônico de Energia Elétrica de Custo Competitivo Associado a Estudos sobre Medições de Energia Elétrica DOUGLAS ALEXANDRE DE A. GARCIA, SERGIO LUIZ PEREIRA
- BT/PEA/0024 Uma Visão Educacional do Método dos Elementos Finitos Aplicado ao Eletromagnetismo LUIZ NATAL ROSSI, JOSÉ ROBERTO CARDOSO
- BT/PEA/0025 An Application of the Finite-Element Method to Desig a Switched Reluctance Motor PEDRO P. DE PAULA, SÍLVIO I. NABETA, JOSÉ R. CARDOSO
- BT/PEA/0026 Algoritmos de Alta Velocidade para a Proteção de distância de Linhas de Transmissão ERVALDO GARCIA JÚNIOR, EDUARDO CÉSAR SENGER
- BT/PEA/0027 Sistema de Aquisição e Tratamento de Dados para a Monitoração da Tensão em Regime Permanente SILVIO XAVIER DUARTE, CARLOS MÁRCIO VIEIRA TAHAN
- BT/PEA/0028 Análise da Confiabilidade e Manutenabilidade de Topologías do Sistema de Telefonia Fixa RICARDO ELIAS CAETANO, CÍCERO COUTO DE MORAES
- BT/PEA/0029 Aspectos Tecnológicos Referentes à Repotenciação de Usinas Termoelétricas MÁRCIO NESTOR ZANCHETA, ADERBAL DE ARRUDA PENTEADO JR
- BT/PEA/0030 Controle de Iluminação Utilizando Dimerização por Lógica Fuzzy, Compensando a Iluminação Natural ANDRÉ VITOR BONORA, EDUARDO MÁRIO DIAS
- BT/PEA/0031 Identificação do Nível de Redundância das Medidas de um Sistema, para Efeito da Estimação de seus Estados JOÃO BOSCO AUGUSTO LONDON JUNIOR, NEWTON GERALDO BRETAS
- BT/PEA/0101 Aplicação do Controlador de Subestação a um Sistema Digital Integrado de Supervisão e Controle RENATO CAMPANINI TEIXEIRA, AUGUSTO F. BRANDÃO JR.
- BT/PEA/0102 Uma proposta de um Filtro Ativo de Tensão para Aplicações em Redes Elétricas JOSÉ TOSHIYUKI HONDA, JOSÉ ANTONIO JARDINI
- BT/PEA/0103 Causas de Falhas e Critérios de Reaproveitamento de Transformadores de Distribuição de Sistemas de Distribuição de Energia Elétrica MIGUEL ANGEL HERNANDEZ TORRES, MARCOS ROBERTO GOUVEA
- BT/PEA/0104 Um Sistema para Avaliação de Indicadores de Qualidade da Distribuição de Energia Elétrica GERSON YUKIO SAIKI, JOSÉ ANTONIO JARDINI
- BT/PEA/0105 Métodos de Análise de Sistemas de Aterramento de Linhas Metroviárias ARMANDO DE OLIVEIRA ALVES DE SOUZA, LUIZ LEBENSZTAJN
- BT/PEA/0106 Caracterização de Acionamentos na Indústria de Beneficiamento de Minério de Ferro FERNANDO MARCELO CALADO DE ANDRADE, IVAN EDUARDO CHABU
- BT/PEA/0107 Impacto da Privatização das Concessionárias de Distribuição de Energia Elétrica na Qualidade da Energia Suprida MITSUO NITTA, ADERBAL DE AARUDA PENTEADO JÚNIOR
- BT/PEA/0108 Estudo Comparativo de Ensaios de Chapa Única para Medidas de Perdas em Aços Elétricos RONALDO ALVES SOARES, CARLOS SHINITI MURANAKA
- BT/PEA/0109 Modelagem de Transformadores de Distribuição para Altas Freqüências ARNALDO G. KANASHIRO, ALEXANDRE PIANTINI, GERALDO F. BURANI
- BT/PEA/0110 Análise e Localização de Descargas Parciais em Transformadores de Potências por Métodos Elétricos HÉDIO TATIZAWA, GERALDO FRANCISCO BURANI
- BT/PEA/0111 A Eletrificação Rural em São Paulo Custos e Padrões LUIZ FERNANDO KURAHASSI, FERNANDO SELLES RIBEIRO
- BT/PEA/0112 A Escola Rural sem Luz em São Paulo OSWALDO TADAMI ARIMURA, FERNANDO SELLES RIBEIRO
- BT/PEA/0113 Eletrificação Rural no Novo Cenário: O Caso de São Paulo LUIZ HENRIQUE ALVES PAZZINI, FERNANDO SELLES RIBEIRO
- BT/PEA/0114 Simulação do Aterramento em Sistemas MRT OCTÁVIO FERREIRA AFFONSO, FERNANDO SELLES RIBEIRO
- BT/PEA/0115 Otimização do Dimensionamento de Equipamentos para Automação de Terminal de Contêineres FÁBIO LOPES CARNELOS, EDUARDO MÁRIO DIAS
- BT/PEA/0116 Sistema de Localização de Faltas para Redes Primárias de Distribuição GIOVANNI MANASSERO JUNIOR, EDUARDO CESAR SENGER
- BT/PEA/0117 Proteção de Distância para Linhas de Transmissão com Compensação Série JOSÉ GERALDO BARRETO MONTEIRO DE ANDRADE, EDUARDO CESAR SENGER

- BT/PEA/0118 Proposta de Acionamento Microprocessado para Empilhadeira Elétrica MARCO AURÉLIO VILELA DE OLIVEIRA, WALTER KAISER
- BT/PEA/0119 Técnicas "Anti-Windup" LUIZ AUGUSTO PEREIRA FERNANDES. CLÓVIS GOLDEMBERG
- BT/PEA/0120 Regulador de Tensão de Gerador HERALDO SILVEIRA BARBUY, CLÓVIS GOLDEMBERG
- BT/PEA/0121 Eficiência Operativa e Confiabilidade de Equipamentos Associados à Automação de Sistemas de Distribuição de Energia Elétrica –REINALDO BURIAN, CÍCERO COUTO DE MORAES
- BT/PEA/0122 Cálculo de Forças sobre Ímās Permanentes: Uma Análise do Problema 23 do Team Workshop HÉLIO JOSÉ DAMANTE, LUIZ LEBENSZTAJN
- BT/PEA/0123 Análise de Guias de Ondas Ópticos pelo Método dos Elementos Finitos MARCOS A. R. FRANCO, JOSÉ ROBERTO CARDOSO
- BT/PEA/0124 Transient Induced Voltage Computaction in a High Building Struck by Lightning CARLOS A. F. SARTORI, A. ORLANDI, JOSÉ ROBERTO CARDOSO
- BT/PEA/0125 Metodologia para Cálculo de Perdas Técnicas por Segmento do Sistema de Distribuição ANDRÉ MÉFFE, CARLOS CÉSAR BARIONI DE OLIVEIRA
- BT/PEA/0126 Calculo da Distribuição da Corrente de Falta em Sistemas de Aterramento de Redes Primárias GILBERTO DE MAGALHÃES FALCOSKI, ADERBAL DE ARRUDA PENTAEDO JR.
- BT/PEA/0127 Acionamento de Velocidade Variável Utilizando Motores de Corrente Alternada Assíncronos JOSÉ ALBERTO MARQUES, IVAN EDUARDO CHABU
- BT/PEA/0201 Unified Power Quality Conditioner with Energy Storing Module for Medium Voltage Adjustable Speed Drive VALBERTO FERREIRA DA SILVA, ADERBAL DE ARRUDA PENTEADO JUNIOR
- BT/PEA/0202 Simulação de Marcha de Composição Ferroviária Acionada por Motores de Indução e PWM CASSIANO LOBO PIRES, SILVIO IKUYO NABETA
- BT/PEA/0203 Conservação de Energia Elétrica em Edificações Comerciais: Sistemas de Ar Condicionado com Central de Água Gelada – TEODORO MONGE DE AMORIM FILHO, MARCO ANTONIO SAIDEL
- BT/PEA/0204 Reconfiguração de Redes Primárias de Distribuição de Energia Elétrica Utilizando Sistemas de Informações Geográficas FERDINANDO CRISPINO, HERNAN PRIETO SCHMIDT
- BT/PEA/0205 Previsão de Carga em Sistemas de Distribuição de Energia Elétrica Utilizando Redes Neurais Artificiais JORGE YASUOKA, HERNAN PRIETO SCHMIDT
- BT/PEA/0206 Correção de Distorções Harmônicas, em Sistemas Industriais, Através de Filtros Passivos ANTONIO PESTANA NETO, LUIZ CERA ZANETTA JÚNIOR
- BT/PEA/0207 Proposta de Metodologia para Controle da Qualidade do Fornecimento de Energia Elétrica a Partir da Segmentação do Mercado Consumidor em Familias de Redes Elétricas RODOLFO COLI DA CUNHA, CARLOS MÁRCIO VIEIRA TAHAN
- BT/PEA/0208 Modelagens das Funções de uma Subestação Automatizada Empregando Modelos Orientados a Objetos MILTHON SERNA SILVA, AUGUSTO F. BRANDÃO JR
- BT/PEA/0209 Automação de Instalações Elétricas Prediais Através da Internet ROBSON REBOUÇAS CARDOSO, AUGUSTO FERREIRA BRANDÃO JUNIOR
- BT/PEA/0210 Identificação Automática de Vagões na Área Portuária: Uma Solução com Análise de Imagens EDUARDO MANTOVANI, EDUARDO MÁRIO DIAS
- BT/PEA/0211 Concepção de Sistema de Supervisão e Controle no Processo de Descarga Rodoviária em Terminais Portuários Utilizando Identificadores Automáticos de Veículos ROGÉRIO COSTA DE OLIVEIRA, EDUARDO MÁRIO DIAS
- BT/PEA/0212 Metodologia para Análise de Perda de Vida Útil de Transformadores, Alimentando Cargas não Lineares ARLINDO GARCIA FILHO, EDUARDO MÁRIO DIAS
- BT/PEA/0213 Sistema de Automação para Gestão do Carregamento de Transformadores Baseado na Confiabilidade JOSÉ LUIZ PEREIRA BRITTES, JOSÉ ANTONIO JARDINI, HERNAN PRIETO SCHMIDT
- BT/PEA/0214 A Conservação, Considerando Aspectos Relacionados à Qualidade de Energia Elétrica na Indústria Têxtil: Estudo de Caso MÁRIO CÉSAR GIACCO RAMOS, ADERBAL DE ARRUDA PENTEADO JR.
- BT/PEA/0215 Cálculo de Parâmetros Operacionais de Desempenho de Redes Primárias de Distribuição Utilizando Redes Neurais Artificiais ANA MARÍA GARCÍA CABEZAS, HERNAN PRIETO SCHMIDT
- BT/PEA/0216 Análise Dinâmica de um Motor de Indução Linear pelo Método dos Elementos Finitos EDUARDO FERREIRA DA SILVA, SILVIO IKUYO NABETA
- BT/PEA/0217 Reômetro Rotativo de Taxa de Cisalhamento Imposta Acionado por Motor de Passo SAMUEL E. DE LUCENA, WALTER KAISER
- BT/PEA/0218 Acionamentos com Motores Brushless para Sistemas de Ventilação de Emergência RENATO DE ALMEIDA PEREIRA, CÍCERO COUTO DE MORAES
- BT/PEA/0219 Retificador Trifásico de Alta Eficiência para Tochas de Plasma MARIO GONÇALVES GARCIA JÚNIOR, LOURENÇO MATAKAS JÚNIOR

- BT/PEA/0220 Impacto de Modelos de Mercado Espacial no Planejamento de Sistemas de Distribuição de Energia -
- BT/PEA/0221 Proposta de Recuperador Dinâmico para Correção de Afundamentos de Tensão FRANCISCO COSTA
- BT/PEA/0222 Análise Preditiva de Defeitos em Motores de Indução Trifásicos Utilizando a Corrente de Alimentação JOSÉ
- BT/PEA/0223 Cálculo de Iluminação Auxiliado por Computadores NESTOR CÂNDIDO FERREIRA SEGUNDO, MARCO
- BT/PEA/0224 Otimização de Sistemas de Distribuição de Energia Elétrica Utilizando Geração Distribuída JAMEA
- BT/PEA/0301 Algoritmo Digital para a Proteção da Interligação Concessionária Indústria Operando em Sistemas de Cogeração – FRANCISCO ANTONIO REIS FILHO, EDUARDO C. SENGER
- BT/PEA/0302 Dimensionamento da Infra-Estrutura para Automação de Terminais de Granéis Sólidos FABIO DEL PAPA,
- BT/PEA/0203 Desenvolvimento e Aplicação de Metodologia para Estudos de Viabilidade de Plantas de Cogeração –
- BT/PEA/0304 Applying Object-Oriental Technology to Project Hydroelectric Power Plant SCADA Systems CARLOS
- BT/PEA/0305 Impactos Econômicos Causados pelos Distúrbios na Rede Básica de Energia Elétrica JOSÉ JULIO DE
- BT/PEA/0306 Fault Location in Transmission Lines Using One Terminal Post Fault Voltage Data CARLOS EDUARDO DE
- BT/PEA/0307 Impactos da Aplicação de Lâmpadas Fluorescentes Compactas em Habitações de Baixa Renda no Sistema de Distribuição de Energia Elétrica – LUIS VENTURA CASTELLS PEÑA, CARLOS MÁRCIO VIEIRA TAHAN
- BT/PEA/0308 Análise e Melhoria do Controle Automático de Concentração de uma Planta de Ácido Nítrico Diluído ELCIO
- BT/PEA/0309 Criação de Valor na Avaliação de Projetos Termelétricos sob Condições de Risco no Mercado Brasileiro de Energia Elétrica – WAGNER DA SILVA LIMA, DOREL SOARES RAMOS
- BT/PEA/0310 Zoneamento Sócio-Econômico-Ecológico como Instrumento de Apoio a Regulação da Energia Elétrica LUIZ
- BT/PEA/0311 Analise de Transientes em Motor de Indução Modelo ABC/abc Aplicado ao Modelamento e Simulação de Soft-Starters - LUIS CARLOS RIBEIRO DOS SANTOS - CLOVIS GOLDEMBERG
- BT/PEA/0312 Modelamento Matemático e Análise do Funcionamento do Acionamento para Motores de Anéis em Cadeia Sub-Síncrona – SÉRGIO LUIZ VOLPIANO – CLOVIS GOLDEMBERG
- BT/PEA/0313 Considerações do Ambiente Eletromagnético Urbano na Análise de Interferências Eletromagnéticas em Veículos Automotores - GLÁUCIO SANTOS - CARLOS ANTONIO FRANÇA SARTORI
- BT/PEA/0314 Contribuição a Aplicação das Wavelets na Eletrostática ALDO ARTUR BELARDI, JOSÉ ROBERTO
- BT/PEA/0315 Avaliação Ponderada da Hidreletricidade e Termeletricidade Através dos Custos Completos JULIO HENRIQUE BOARATI, MIGUEL EDGAR MORALES UDAETA
- BT/PEA/0401 Previsão Espacial de Carga em Sistemas de Distribuição Utilizando Técnicas de Inteligência Artificial e Plataforma GIS – FRANZ HENRY PEREYRA ZAMORA, CARLOS MARCIO VIEIRA TAHAN
- BT/PEA/0402 Modeling of Impulse Stressed Distribution Transformer Winding Oriented to Maintenance Purposes PEDRO LUÍS SANTUCCI DE MENDONÇA, AUGUSTO FERREIRA BRANDÃO JÚNIOR
- BT/PEA-0403 Sistema para o Gerenciamento de Imóveis e Ocupação das Faixas de Linhas de Transmissão Utilizando Dados Georreferenciados e de Sensoriamento Remoto – MAURICIO GEORGE MIGUEL JARDINI, HERNAN

